# تأثير دقائق الفضة النانونية المحضرة بأستخدام المبيضات البيض في بعض البكتريا المرضية

حسين عبد الرزاق عبود، كلية التربية المفتوحة، مديرية التربية في محافظة كركوك، وزارة التربية، كركوك

Email: dr.hussenalsaadi@yahoo.com

ORCID: https://orcid.org/0009-0002-1355-0928

أكرم مظهر كريم، كلية التربوية المفتوحة، مديرية التربية في محافظة كركوك، وزارة التربية، كركوك.Email: akramaljubouri@uokirkuk.edu.ig

أستلم البحث: 2023/2/27 قبل البحث: 2023/4/11 طبع البحث: 2023/5/1

#### الخلاصة

الكلمات الدلالية: الجسيمات الفضية النانوية، Candida albicans, E. coli, الكلمات الدلالية

P. mirabilis

#### المقدمة

علم النانو هو العلم الذي يدرس ويميز المواد ذات الأبعاد بين 10-100 نانومتر، ويحدد خواصها الكيميائية والفيزيائية والميكانيكية من خلال دراسة الظواهر المرتبطة بها الناشئة عن صغر حجمها (1) بينما يُعرف علم النانو أيضًا باسم علم المواد المحدودة في الصغر لأنه يدرس

المواد على المستوى الذري أو الجزيئي التي لها خصائص مختلفة بشكل كبير عن نفس المادة على نطاق أوسع. يمكن الحصول على الجسيمات النانوية بيولوجيًا وكيميائيًا من البكتيريا والفطريات التي تنتج جسيمات نانوية بخصائص مضادة للميكروبات.(2)(3)

#### المواد وطرق العمل

#### تحضير ألكتله الحيوية الفطرية وتكوين الجسيمات النانوية الفضية

تحضير المواد الفطرية عن طريق إزالة الأقراص من نمو المستعمرات الفطرية النقية باستخدام ثقب معقم 7 ملم من الفلين، حيث يتم ثقب حافة المستعمرة النامية على لوحة نمو فطرية وتوضع في مخروط يحتوي على 100 مل من MYPG السائل. ضع وسط الاستزراع في الزجاجة بهدوء وبعناية بحيث يكون القرص على سطح وسط الثقافة ويقلب. بعد استقرار الأقراص على سطح الوسط السائل لفترة من الوقت، ثم وضعها في حاضنة 26 درجة مئوية لمدة 5-7 أيام للحصول على حصائر فطرية بأوزان مختلفة (4) مرشح الكتلة الفطرية وغسلها جيدًا بالماء المقطر المعقم لإزالة بقايا وسط الاستزراع، ثم ضع الكتلة الفطرية في دورق مخروطي مملوء بالماء المقطر المعقم (100 مل)، وضعه في الحاضنة لمدة 24-72 ساعة، وقم بترشيحه مرة أخرى باستخدام ورق الترشيح، قم بتصفية الحبيبات لضمان إزالة جميع وسائط المكونات. بعدها جفف ورقة الترشيح في فرن كهربائي من نوع(Memmert (Germanyعند درجة حرارة 50 م بعدها قم بقياس الوزن الجاف للفطر بفارق الوزنبين كتلةالورقة المجففة مع محتوياتها بعد الترشيح وكتلة ورقة الترشيح وهي مجففة قبل الترشيح . وزن 10غم من الكتلة الفطرية ثم وضعها في 100مل من محلول نترات الفضة 100 المحضرة بتركيز 1ووضعها في الحاضنة في ظروف مظلمة تماما وبعد التغير اللوني تم فحص جزيئاتAgNPs بأستخدام مطياف الأشعة فوق البنفسجية المرئية (JASCO )UV-visble spectrophotometer في المركز الصحي في مدينة كركوك وطيف الأشعة السينية X-Ray (shimadzu) في مختبر في قسم الفيزياء - كلية العلوم جامعة بغداد كما تم (أستخدام SEM(Scaning Electron Microscopy) (TESCAN- المجهر الالكتروني الماسح (VEGA) في الجامعه التكنلوجية مركز ابحاث النانو.

#### جمع العينات السريرية

تم الحصول على عينات البكتريا من النماذج السريرية المأخوذة من المراجعين والراقدين في مستشفيات مدينة كركوك اذ زرعت العينات على وسطي أكار الدم وأكار الماكونكي وحضنت في 37م لمدة 18-24ساعة بعدها نقل عدد من المستعمرات المفردة الى وسط الاكار

المغذي السائل وحضنت في 37م لمدة 18-24ساعة وبعد ظهور النمو حفظت في 4 م لحين الاستخدام.

#### الفحوصات الكيموحيوية

بهدف تشخيص العز لات البكتيرية تم أجراء عدد من الاختبارات البايوكيميائية المذكورة في مصادر التشخيص المعتمدة (6) (5) أضافة الى تأكيد التشخيص بأستخدام نظام Api20E المجهزة من شركة Biomeriex.

#### تحضير تخافيف من الجسيمات النانونية

استعمل محلول جسيمات الفضة بعد ترشيحه من الفطر باستخدام ورق الترشيح المعقمة (Whatman filter paper No 1) وتعقيمه بواسطة وحدة الترشيح الدقيق 0.22ملم وحضرت بالتراكيز الأتية:

التركيز الأول: يحوي 1mM من محلول AgNPs واصبح بتركيز 100%.

التركيز الثاني: حضر بأضافة 5مل من المحلول الاولي في 5 مل من الماء المقطر المعقم ليصبح التركيز ليصبح التركيز 50%.

التركيز الثالث: حضر بأضافة 3.5 مل من المحلول الاولي وخفف في 6.5 مل من الماء المقطروليصبح بتركيز %35.

التركيز الرابع: حضر بأضافة 2.5 مل من المحلول الاولي وخفف في 7.5مل من الماء المقطر ليصبح تركيز %25.

#### دراسة تأثير الجسيمات النانوية على البكتريا المرضية

تم تحضير العالق البكتيري بالمقارنة مع محلول ماكفر لاند القياسي وأستخدمت القطيلة في نشر العالق البكتيري على سطح الوسط الزرعي مولر هنتون. وتركت لمدة 30 دقيقة في درجة الغرفة بعدها عمل حفر في الوسط الزرعي بأستخدام ثاقب الفليني بقياس 6 ملم بواقع 4 حفر في كل طبق ووضع في كل حفرة 60 مايكروليتر من تخافيف محلول جسيمات الفضة النانونية المحضرة مسبقا .ترك الاطباق في درجة حرارة الغرفة لفترة ثم حضنها في 37 م لمدة — 24) المحضرة مسبقا .ترك الاطباق في درجة حرارة الغرفة لفترة ثم حضنها في 37 م لمدة — 18) المحضرة مسبقا . بعدها يتم قياس منطقة التثبيط حول الحفر بالمللميتر (7)

#### النتائج والمناقشة

#### تكوين الجسيمات النانوية الفضية AgNPs

أن تكوين الجسيمات النانوية لوحظ من خلال عدد من المؤشرات وكما يلى:

#### التغير اللوني Visual observation

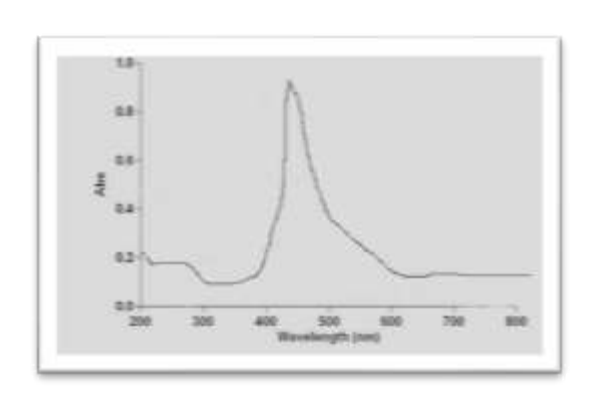
أظهرت نتائج هذه الدراسة تكون جسيمات الفضة النانوية AgNPs باستخدام خميرة اظهرت نتائج هذه الدراسة تكون جسيمات الفضة (1) وذلك من خلال ملاحظة التغير اللوني الناتج عن اختزال  $AgNO_3$  ترات الفضة  $AgNO_3$  آذ أن هذا التغير اللوني ناتج عن أثارة سطح البلازمون (أساس هذا الاهتزاز هو لمجاميع توصيل الالكترون) في جسيمات الفضة النانوية (8)



الصورة (1) التغير اللوني لمحلول نترات الفضة

#### طيف الامتصاصية للأشعة فوق البنفسجية والمرئية Absorption UV- light spectroscopy

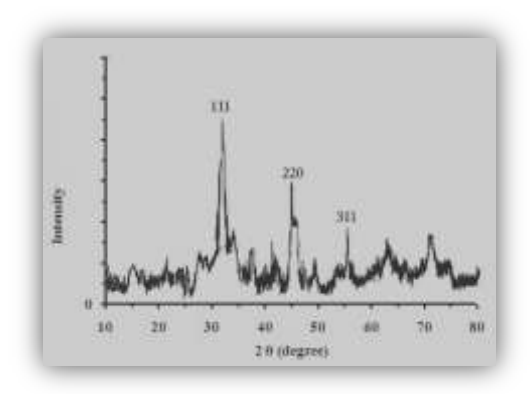
أظهرت نتائج الدراسة الحالية أن قدرة الخميرة Candida albicans على إنتاج الجسيمات النانوية هي طريقة مهمة للكشف عن النانو إحدى التقنيات المهمة للهيكل، تظهر ذروة الامتصاص عند الطول الموجي 430 نانومتر، مما يمثل ذروة امتصاص الفضة الشكل (1) وهذه تتفق مع باحثين اخرين (9) (10).



الشكل (1) طيف أمتصاص للأشعة فوق البنفسجية والمرئية

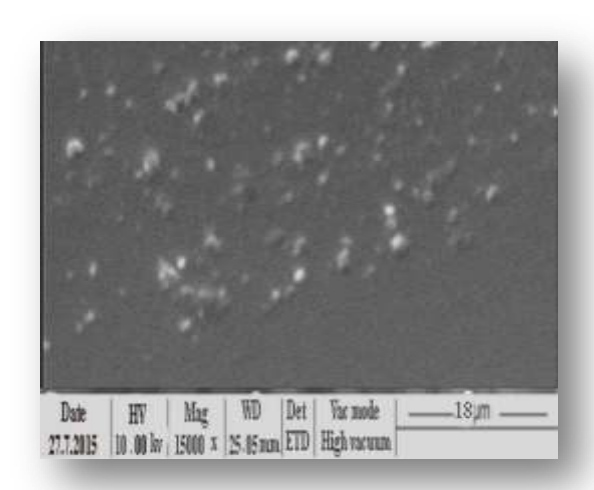
#### حيود الأشعة السينية X-Ray Diffraction

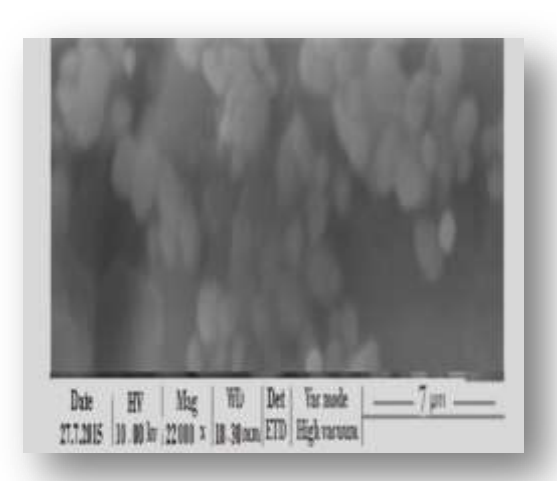
يوضح الشكل (2) طيف حيود الأشعة السينية لجسيمات الفضة النانوية (AgNPs) المحضرة باستخدام فطر Aspergillus niger المعزول من (المنطقة الصناعية) r، ونلاحظ قمم الحيود (111) و (220) و (311) عند الزوايا (32.20 و 47.34 و 55. (43) أن هذه الزوايا قريبة من تلك التي ذكر ها المركز الدولي لبيانات الحيود (JCPDS) ، ومتوافقة مع الباحثين الاخرين (11)(11).



الشكل (2) طيف حيود الأشعة السينية (XRD) لجسيمات الفضة النانوية المجهر الالكتروني الماسح Scanning electron microscopy

يبين الشكل (3) صور المجهر الاكتروني الماسح لجسيمات الفضة النانونية المتكونة بأستخدام خميرة Candida albicans والذي يظهر بشكل تجمعات والتي تثبت تكون جسيمات الفضة النانونية (11) (12).(3).





الشكل (3) المجهر الكتروني الماسح عند التكبير 15000X و 22000X

#### أنواع البكترية المرضية المعزولة خلال الدراسة

أظهرت نتائج الدراسة المتعلقة بعزل البكتريا المرضية من المرضى الى تشخيص (30)عزلة وبواقع 15 عزلة لكل من E.coli و تبينت بعد الفحص المجهري والزرع المختبري والاختبارات البيوكيميائية ونظام -20E API فقد كانت متطابقة كما ورد في انظمة الخصائص الجرثومية.

#### تأثير جسيمات الفضة النانوية AgNPsعلى بعض البكتريا المرضية

تبين من خلال الدراسة أن لجسيمات الفضة النانوية المنتجة من الخميرة لها فعالية عالية عالية على البكتريا P. mirbilis وكما موضح بالجدول (3) اذ عند التركيز 100% بلغ قطر التثبيط (32,33,33,33,33,33,34) ملم ضد الثلاث عز لات ذات المقاومة المتعددة للمضادات الحيوية وعند تخفيف 50% بلغ قطر التثبيط (20,21,20, ملم. في حين عنده تخفيف 35% بلغ قطر التثبيط (5,6,5) وأيضا على بكتريا E.coli الجدول (4) اذ عند تخفيف 100% بلغ قطر التثبيط (21,17,23, من العزلات (3) و (5) و (9) على التوالي وعند تخفيف 50% بلغ قطر التثبيط (8,8,8) وأن لصغر حجم الدقائق النانونية ومساحتها في حين عنده تخفيف 35% بلغ قطر التثبيط (8,8,8) وأن لصغر حجم الدقائق النانونية ومساحتها السطحية الكبيرة حيث كلما صغر الحجم تجمعت بأعداد أكبر على سطح الخلايا مما يؤدي الى زيادة سميتها للكائنات الدقيقة من خلال تأثير ها على نفاذية الغشاء البلاز مي للبكتريا وبالتالي موت الخلية(14) (13)

ان الالية التي يتم فيها تفاعل الدقائق النانونية مع الخلايا البكتيرية هي أن الكائنات الدقيقة تحمل شحنات سالبة بينما الاكاسيد المعدنية النانونية تحمل شحنة موجبة مما يخلق تجاذبا كهرومغناطيسيا بين البكتريا وسطح الدقائق وأن الدقائق النانونية تطلق الايونات التي تتفاعل مع مجموعة الثايول (SH-) للبروتينات الناقلة للمواد الغذائية التي تبرز من غشاء الخلية البكتيرية مما ويخفض نفاذية الغشاء وبالتالي موت الخلية (15).

ان ميكانيكية تثبيط AgNPs قابلية DNA على التضاعف والتعبير الجيني للبروتينات وكذلك مختلف البروتينات الخلوية والانزيمات الضرورية في انتاج ATP لذلك تصبح غير فعالة (16) وتهاجم AgNPs سطح غشاء الخلية وتعطل عملية النفاذية ووظائف التنفس في الخلية أو تتداخل مع مكونات نظام النقل الاكتروني للبكتريا (18)(17).

#### الجدول (3) تأثير للجسيمات النانونية بتراكيز مختلفة على P. mirbilis

عزلات P.mirbilis المقاومة			
قطر منطقة التثبيط لعزلة رقم 13 (mm)	قطر منطقة التثبيط لعزلة رقم 11 (mm)	قطر منطقة التثبيط لعزلة رقم 4 (mm)	تركيز اجسيمات النانونية المنتج من Candida albicans
33	33	32	100
21	20	20	50
5	6	5	35
0	0	0	25
			التأثير التثبيطي لجسيمات الفضة النانونية المحضرة بأستخدام Candida albicans

الجدول (4) تأثير للجسيمات النانونية بتراكيز مختلفة على E.coli

عزلات $E.coli$ المقاومة			تركيز اجسيمات النانونية
			المنتج من Candida
قطر منطقة التثبيط لعزلة	قطر منطقة التثبيط لعزلة	قطر منطقة التثبيط لعزلة	albicans
رقم 9 (mm)	رقم 5 (mm)	رقم 3 (mm)	%
35	35	34	100
17	23	21	50
8	8	8	35
1	0	0	25
	100		التأثير التثبيطي لجسيمات الفضة الناتونية المحضرة
	100		بأستخدام Candida
			albicans

#### المصادر

- 1. Buzea C, Pacheco I, Robbie K. Nanomaterials and nanoparticles: Sources and toxicity. Biointerphases, 2007;2(4): 17-71.
- 2. Abdul Hameed M. Nanoparticles as alternative to pesticides in management plant diseass- A review. Int J Sci Res Pub 2012;2(4):1-4.

- 3. Durán N, Marcato PD, Alves OL, Souza GI, Esposito E. Mechanistic aspects of biosynthesis of silver nanoparticles by several *Fusarium oxysporum* strains. J Nanobiotechnology. 2005 Jul 13;3:8.
- 4. Karbasian M, Atyabi SM, Siyadat SD, Momen SB, Norouzian D. Optimizing Nano-silver Formation by *Fusarium oxisporum* PTCC 5115 Employing Response Surface Methodology. Am J Agri Biol Sci 2008; 3(1):433-437.
- 5- Monica C. District Laboratory Practice in Tropical Countries .part 2.2th. P. 63-71, 2009.
- **6-** Brown AE. Benson's Microbiological Applications Laboratory Manual in General Microbiology. 10<sup>th</sup> ed., P. 102-263. McGraw-Hill Comp. Inc., USA (2007).
- 7-Vandepitte J, Engback K, Piot P, Heuck G. Basic Laboratory Procedures in Clinical Bacteriology. WHO Switzerland (1991).
- 8- Verma VC, Kharwar RN, Gange AC. Biosynthesis of antimicrobial silver nanoparticles by the endophytic fungus *Aspergillus clavatus*. Nanomedicine 2010;5:33-40.
- 9- Vigneshwaran N, Ashtaputre NM, Varadarajan PV, Nachane RP, Paralikar KM, Balasubramanya RH. Biological synthesis of silver nanoparticles using the fungus *Aspergillus flavus*. Materials Letters 2007;61: 1413–1418.
- 10- Pavani KV, Kumar NS, Sangameswaran BB. Synthesis of lead nanoparticles by Aspergillus species. Pol J Microbiol. 2012;61(1):61-3.
- 11- Gopinath V, Velusamy P. Extracellular biosynthesis of silver nanoparticles using *Bacillus* sp. GP-23 and evaluation of their antifungal activity towards *Fusarium oxysporum*. Spectrochim. Acta A 106:170-174(2013)
- 12- Ashe B. A detail investigation to observe the effect zinc oxide and silver nanoparticales in biology system. M.Sci thesis. National Institute of Technology. India..(2011)
- 13- Lin X, Li J, Ma S, Liu G, Yang K, et al. Toxicity of TiO2 Nanoparticles to *Escherichia coli*: Effects of Particle Size, Crystal Phase and Water Chemistry. PLOS ONE 2014;9(10): e110247.
- 14- Sondi I, Salopek-Sondi B. Silver Nanoparticles as antimicrobial agent: a case study on *E. coli* as a model for Gram-negative bacteria. J Colloid Interface Sci, 2004;275:177–182.

- 15- Zhang H, Chen G. Potent Antibacterial Activities of Ag/TiO2 Nan composite Powders Synthesized by a One-Pot Sol-Gel Method. Environ Sci Technol, 2009;43(8): 2905-2910.
- 16- Yamanaka MK, Hara T, Kudo J. Bactericidal actions of a silver ion solution on *Escherichia coli* studied by energy filtering transmission electron microscopy and proteomic analysis. Applied and Environmental Microbiology, 2005;71:7589.
- 17- Percival SL, Bowler PG, Russell D. Bacterial resistance to silver in wound care. J Hospital Infect, 2005;60: 1.
- 18- Sharma VK, Yngard RA, Lin Y. Silver: Green synthesis and their antimicrobial activities. Adv Colloid Interface Sci 2009; 145:83.

## Effect of Silver Nanoparticles Prepared by Using Candida albicans Yeast in Some Bacteria

Hussein Abdulrazaq Abod, Open Education College, Kirkuk Education Authority, Kirkuk, Iraq.

Email: dr.hussenalsaadi@yahoo.com

ORCID: https://orcid.org/0009-0002-1355-0928

Akram Mudhir Karim, Open Education College, Kirkuk Education Authority, Kirkuk, Iraq. Email:

akramaljubouri@uokirkuk.edu.iq

Isolate of *Candida albicans* was obtained from Kirkuk General Hospital. It was used to study its ability to prepare silver nanoparticles, and it was found that the silver nitrate solution in 1 mm changed its color to brown, which is a preliminary evidence for the formation of silver nanoparticles. The absorption spectrum of ultraviolet and visible rays of a solution of silver nanoparticles was studied as a second step in ascertaining the formation of particles and it was found that they are located at the wavelength (430) nm. 31.77, 46.11, and 57.21), respectively. The particles also appeared as clear particles in the scanning electron microscope images. It was found that the solution of silver nanoparticles had a clear inhibitory effect on two types of bacteria, *E.coli* and *P. mirabilis*, which amounted to (33,33,32) mm against E.coli bacteria at a concentration of 100% and (5.6,5 mm) against three *E.coli* isolates and was (35,35,34) mm at a concentration of 100% against *P. Mirabilis*